

บทที่ 3

การคำนวณการจัดสรรกำลังการผลิต

เนื่องจากการคำนวณราคาไฟฟ้าจะสัมพันธ์กับผลของการจัดสรรกำลังการผลิตดังจะได้แสดงต่อไป ดังนั้นในบทนี้จะได้กล่าวถึงการจัดสรรกำลังการผลิต ซึ่งได้นำเสนอทั้งในส่วนของ การจัดสรรกำลังการผลิตโดยทั่วไป และการจัดสรรกำลังการผลิตโดยพิจารณาถึงราคาไฟฟ้าจริงที่ผู้ซื้อไฟฟ้าจะต้องเสีย หรือ ผู้ขายไฟฟ้าจะได้รับ และในหัวข้อสุดท้ายได้แสดงการคำนวณค่าความไวของกำลังไฟฟ้าสูญเสียและค่าความไวของกำลังไฟฟ้าที่ไหลบนสายส่งเมื่อเทียบกับการเปลี่ยนกำลังไฟฟ้าสุทธิที่บัสต่างๆ ซึ่งค่าความไวเหล่านี้นอกจากจะมีความสำคัญอย่างยิ่งต่อการจัดสรรกำลังการผลิตแล้ว ยังมีความสำคัญต่อการคำนวณราคาไฟฟ้าอีกด้วย

โดยข้อจำกัดของระบบที่เป็นพื้นฐานในการคำนวณออปติมัลเพาเวอร์โพลว์ และ ส่งผลสำคัญต่อราคาไฟฟ้า คือ

ข้อจำกัดแบบสมการ : ข้อจำกัดของสมดุลกำลังไฟฟ้า ณ บัสต่างๆ ซึ่งในวิชยานิพนธ์ฉบับนี้ได้เปลี่ยนให้รูปแบบปัญหาการคำนวณง่ายขึ้น โดยใช้สมการสมดุลของกำลังไฟฟ้าทั้งระบบแทน

ข้อจำกัดแบบอสมการ : ข้อจำกัดพิกัดกำลังการผลิตของเครื่องกำเนิดไฟฟ้า และข้อจำกัดพิกัดการไหลของกำลังไฟฟ้าบนสายส่ง

3.1 การจัดสรรกำลังการผลิตโดยทั่วไป

หลังจากศูนย์ควบคุมระบบอิสระทำการรวบรวมข้อมูลการประมาณการซื้อขายไฟฟ้าจากผู้ซื้อและผู้ขายไฟฟ้าแล้ว ออปติมัลเพาเวอร์โพลว์ซึ่งเป็นเครื่องมือการคำนวณการจัดสรรกำลังการผลิตที่เป็นที่นิยมจะถูกนำมาใช้คำนวณผลการจัดสรรกำลังการผลิต

วัตถุประสงค์ของการจัดสรรกำลังการผลิตโดยทั่วไป คือ การจัดสรรกำลังการผลิตโดยให้ต้นทุนในการผลิตไฟฟ้าต่ำที่สุด หรือก็คือการให้ผลประโยชน์ของผู้ผลิตไฟฟ้ามากที่สุดนั่นเอง นอกจากนี้ยังส่งผลทำให้ราคาไฟฟ้าที่ผู้ซื้อไฟฟ้าจะต้องจ่ายมีค่าต่ำลงอีกด้วย

จากสมการที่ (2.1) ถึง (2.3) สมการการคำนวณออปติมัลเพาเวอร์โพลว์โดยทั่วไปสามารถแสดงได้ดังนี้

$$\text{Min} \left\{ C_t = \sum_{g=1}^{N_g} C_g (P_g) \right\} \quad (3.1)$$

s.t.

$$\left. \begin{aligned} P_i(|V|, \theta) - P_i^{net} &= 0 \\ Q_i(|V|, \theta) - Q_i^{net} &= 0 \end{aligned} \right\} \text{ for each PQ (load) bus } i \quad (3.2)$$

$$P_k(|V|, \theta) - P_k^{net} = 0 \quad \text{for each PV (gen.) bus } k$$

$$|S_t| \leq S_{t,limit} \quad t \in N_t \quad (3.3)$$

$$V_{i,min} \leq |V_i| \leq V_{i,max} \quad (3.4)$$

$$P_{g,min} \leq P_g \leq P_{g,max} \quad (3.5)$$

$$Q_{g,min} \leq Q_g \leq Q_{g,max} \quad (3.6)$$

- โดยที่ C_t คือ ต้นทุนการผลิตไฟฟ้าทั้งหมดของระบบ
- $C_g(P_g)$ คือ ต้นทุนการผลิตไฟฟ้าของเครื่องกำเนิดไฟฟ้าที่ g
- P_g คือ กำลังไฟฟ้างจริงที่ผลิตจากเครื่องกำเนิดไฟฟ้าที่ g
- $|V|$ คือ เวกเตอร์ขนาดแรงดันไฟฟ้า
- θ คือ เวกเตอร์มุมเฟสแรงดันไฟฟ้า
- S_t คือ การส่งผ่านกำลังไฟฟ้าปรากฏของสายส่ง t
- $S_{t,limit}$ คือ พิกัดการส่งผ่านกำลังไฟฟ้าปรากฏของสายส่ง t
- N_t คือ จำนวนสายส่งในระบบ
- $|V_i|$ คือ ขนาดแรงดันแรงดันไฟฟ้า ณ บัส i
- $V_{i,min}, V_{i,max}$ คือ พิกัดล่างและบนของขนาดแรงดันแรงดันไฟฟ้า ณ บัส i
- $P_{g,min}, P_{g,max}$ คือ พิกัดล่างและพิกัดบนของกำลังไฟฟ้าที่ผลิตจากเครื่องกำเนิดไฟฟ้าที่ g
- Q_g คือ กำลังไฟฟารีแอกทีฟที่ผลิตจากเครื่องกำเนิดไฟฟ้าที่ g
- $Q_{g,min}, Q_{g,max}$ คือ พิกัดล่างและพิกัดบนของกำลังไฟฟารีแอกทีฟที่ผลิตจากเครื่องกำเนิดไฟฟ้าที่ g

อย่างไรก็ตามเพื่อความรวดเร็วในการคำนวณ และเนื่องจากในวิทยานิพนธ์ฉบับนี้พิจารณาเฉพาะกำลังไฟฟ้าค่าจริง เราสามารถลดรูปปัญหาการคำนวณโดยการแทนสมการสมดุลกำลังไฟฟ้าของแต่ละบัสด้วยสมการสมดุลกำลังไฟฟ้าของระบบ และทำการประมาณค่าการส่งผ่านกำลังไฟฟ้าปรากฏของสายส่ง t ให้อยู่ในรูปกำลังไฟฟ้าจริง [11] ดังนี้

$$|S_t| = [P_t^2 + Q_t^2]^{1/2} = |P_t| [1 + \tau^2]^{1/2} \approx |P_t| \quad (3.7)$$

โดย P_t และ Q_t แทนกำลังไฟฟ้างจริง และกำลังไฟฟารีแอกทีฟที่ไหลผ่านสายส่ง t ตามลำดับ และกำหนดสมมติฐานให้ $\tau^2 = (Q_t / P_t)^2$ มีค่าต่ำมาก ณ สภาวะการทำงานปกติของระบบ

ด้วยวิธีการลดรูปปัญหาการคำนวณข้างต้น ตัวแปรสถานะทั้งหมดจะหายไปจากการคำนวณ และตัวแปรควบคุมจะเหลือเพียงกำลังไฟฟ้าจริงของเครื่องกำเนิดไฟฟ้าแต่ละเครื่องเท่านั้น ดังนั้นปัญหาการคำนวณออปติมัลเพาเวอร์โพล์จะลดรูปเป็นดังสมการ

$$\text{Min} \left\{ C_t = \sum_{g=1}^{N_g} C_g(P_g) \right\} \quad (3.8)$$

$$\sum_{d=1}^{N_d} P_d + P_t - \sum_{g=1}^{N_g} P_g = 0 \quad (3.9)$$

$$|P_t| \leq P_{t, \text{limu}} \quad t \in N_t \quad (3.10)$$

$$P_{g, \text{min}} \leq P_g \leq P_{g, \text{max}} \quad (3.11)$$

โดย	N_d	คือ	จำนวนผู้ใช้ไฟฟ้า (โหลด)
	P_d	คือ	กำลังไฟฟ้าที่ต้องการของผู้ใช้ไฟฟ้า d
	P_t	คือ	กำลังไฟฟ้าจริงที่สูญเสียทั้งหมดในระบบ
	N_g	คือ	จำนวนผู้จ่ายไฟฟ้า (เครื่องกำเนิดไฟฟ้า)
	P_t	คือ	กำลังไฟฟ้าที่ไหลบนสายส่ง t
	$P_{t, \text{limu}}$	คือ	พิกัดกำลังไฟฟ้าที่ไหลบนสายส่ง t

ปัญหาการคำนวณออปติมัลเพาเวอร์โพล์ในสมการที่ (3.8) ถึง (3.11) สามารถแก้ได้โดยวิธีการคำนวณต่างๆ เช่น วิธีเกรเดียนต์ วิธีของนิวตัน วิธีการใช้จุดค่าตอบภายใน วิธีโปรแกรมเชิงเส้น ดังที่ได้กล่าวในบทที่ 2 อย่างไรก็ตามในวิทยานิพนธ์ฉบับนี้ เราจะใช้วิธีโปรแกรมเชิงเส้นในการแก้ปัญหา เนื่องจากวิธีโปรแกรมเชิงเส้นสามารถแก้ปัญหาการคำนวณได้แม้ว่าการคำนวณจะมีข้อจำกัดแบบอสมการ และมีฟังก์ชันวัตถุประสงค์เป็นฟังก์ชันไม่ต่อเนื่องอันเป็นผลมาจากข้อมูลการเสนอซื้อและเสนอขายไฟฟ้า

จะสังเกตเห็นว่า การคำนวณในสมการที่ (3.8) ถึง (3.11) นั้นพิจารณาเฉพาะการจัดสรรกำลังการผลิตทางด้านผู้ขายไฟฟ้าเท่านั้น โดยในขั้นตอนนี้สมมติให้ปริมาณความต้องการไฟฟ้ามีค่าคงที่โดยมีค่าเท่ากับความต้องการการใช้ไฟฟ้าที่ได้จากจุดตัดของกราฟการเสนอซื้อ และเสนอขายไฟฟ้า โดยวิทยานิพนธ์ฉบับนี้จะเรียกการจัดสรรกำลังการผลิตดังกล่าวว่าเป็น การจัดสรรกำลังการผลิตที่ไม่มีความยืดหยุ่นของการใช้ไฟฟ้า

อย่างไรก็ตาม ในวิทยานิพนธ์ฉบับนี้ได้ทำการพิจารณาการจัดสรรกำลังการผลิตในตลาดกลางซื้อขายไฟฟ้าทั้งกรณีที่ไม่มีความยืดหยุ่นของการใช้ไฟฟ้า และกรณีที่มีความยืดหยุ่นของการใช้ไฟฟ้า โดยได้นำแสดงไว้ในหัวข้อที่ 3.1.1 และ 3.1.2 ตามลำดับ

3.1.1 การจัดสรรกำลังการผลิตที่ไม่มีความยืดหยุ่นของการใช้ไฟฟ้าโดยทั่วไป

ในตลาดกลางการซื้อขายไฟฟ้า หากความต้องการใช้ไฟฟ้าไม่มีความยืดหยุ่นต่อราคาไฟฟ้า การคำนวณการจัดสรรกำลังการผลิตจะเป็นการพิจารณาถึงต้นทุนในการผลิตของผู้จ่ายไฟฟ้าเท่านั้น ดังนั้นฟังก์ชันวัตถุประสงค์ในสมการที่ (3.8) จะถูกแทนที่ด้วยผลคูณของราคาไฟฟ้าเสนอขาย และ ปริมาณไฟฟ้าเสนอขาย หรือ พื้นที่ใต้กราฟการเสนอขาย ดังสมการต่อไปนี้

$$\text{Min} \left\{ \sum_g^{N_g} \sum_{gb}^{N_{gb}} (p_{gb} \times Q_{gb}) \right\} \quad (3.12)$$

$$\text{s.t.} \quad \sum_d^{N_d} P_d + P_l - \sum_g^{N_g} \sum_{gb}^{N_{gb}} (Q_{gb}) = 0 \quad (3.13)$$

$$|P_l| - P_{l,lim u} \leq 0 \quad t \in N_l \quad (3.14)$$

$$0 \leq Q_{gb} \leq Q_{gb,max} \quad (3.15)$$

โดย $\sum_g^{N_g} \sum_{gb}^{N_{gb}} (Q_{gb}) = \sum_g^{N_g} P_g$,

p_{gb}	คือ	ราคาเสนอช่วงที่ b ของผู้จ่ายไฟฟ้า g
Q_{gb}	คือ	ปริมาณเสนอช่วงที่ b ของผู้จ่ายไฟฟ้า g
N_{gb}	คือ	จำนวนช่วงการเสนอของผู้จ่ายไฟฟ้า g
$Q_{gb,max}$	คือ	พิกัดกำลังไฟฟ้าเสนอช่วงที่ b ของผู้จ่ายไฟฟ้า g

เนื่องจากสมการที่ (3.13) และ (3.14) มีลักษณะไม่เป็นเชิงเส้น (nonlinear) ดังนั้นเทคนิคการทำให้เป็นเชิงเส้นรอบจุดทำงานจะถูกนำมาใช้ในการแก้ปัญหาดังนี้

$$\begin{aligned} & \text{Min} \left\{ \sum_g^{N_g} \sum_{gb}^{N_{gb}} [p_{gb} \times (Q_{gb}^0 + \Delta Q_{gb})] \right\} \\ \Rightarrow & \text{Min} \left\{ \sum_g^{N_g} \sum_{gb}^{N_{gb}} (p_{gb} \times Q_{gb}^0) + \sum_g^{N_g} \sum_{gb}^{N_{gb}} (p_{gb} \times \Delta Q_{gb}) \right\} \\ \Rightarrow & \text{Min} \left\{ \sum_g^{N_g} \sum_{gb}^{N_{gb}} (p_{gb} \times \Delta Q_{gb}) \right\} \end{aligned} \quad (3.16)$$

$$\text{s.t.} \quad \sum_{d=1}^{N_d} P_d + \left[P_l^0 + \sum_g^{N_g} \gamma_g \sum_{gb}^{N_{gb}} \Delta Q_{gb} \right] - \left[\sum_g^{N_g} \sum_{gb}^{N_{gb}} (Q_{gb}^0 + \Delta Q_{gb}) \right] = 0 \quad (3.17)$$

$$\left| P_l^0 + \sum_g^{N_g} \beta_{l,g} \sum_{gb}^{N_{gb}} \Delta Q_{gb} \right| - P_{l,lim u} \leq 0 \quad t \in N_l \quad (3.18)$$

$$0 \leq Q_{gb}^0 + \Delta Q_{gb} \leq Q_{gb,max} \quad (3.19)$$

โดย	Q_{gb}^0	คือ	ปริมาณเสนอช่วงที่ b ของผู้จ่ายไฟฟ้า g ณ จุดทำงานเริ่มต้น
	ΔQ_{gb}	คือ	การเปลี่ยนแปลงปริมาณเสนอช่วงที่ b ของผู้จ่ายไฟฟ้า g
	P_r^0	คือ	กำลังไฟฟ้าจริงที่สูญเสียทั้งหมดในระบบ ณ จุดทำงานเริ่มต้น
	γ_g	คือ	ความไวของกำลังสูญเสียในระบบเมื่อเทียบกับผู้จ่ายไฟฟ้า g
	$\beta_{l,g}$	คือ	ความไวของกำลังไฟฟ้าที่ไหลบนสายส่ง l เมื่อเทียบกับผู้จ่ายไฟฟ้า g

ความไวของกำลังสูญเสียในระบบ และความไวของกำลังไฟฟ้าที่ไหลบนสายส่งเมื่อเทียบกับผู้จ่ายไฟฟ้า g ซึ่งนิยามโดย $\partial P_l / \partial P_g$ และ $\partial P_l / \partial P_g$ สามารถคำนวณได้โดยวิธีการที่พัฒนาจาก [3,5,10] โดยอาศัยการวิเคราะห์ เอ.ซี. นิวตัน-ราฟสัน กับเทคนิคการหาอนุพันธ์แยกส่วนและเทคนิคกฏลูกโซ่ ดังแสดงต่อไปในหัวข้อที่ 3.3

3.1.2 การจัดสรรกำลังการผลิตที่มีความยืดหยุ่นของการใช้ไฟฟ้าโดยทั่วไป

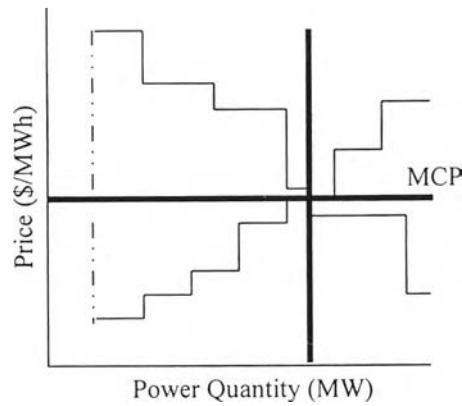
การจัดสรรกำลังการผลิตในกรณีที่มีความยืดหยุ่นของการใช้ไฟฟ้านี้จะแตกต่างจากกรณีที่ไม่มีความยืดหยุ่นของการใช้ไฟฟ้า คือ สามารถนำหลักการการหาค่าสูงสุดของผลประโยชน์รวมของระบบ (Social welfare) มาใช้ได้ [14-17] ในกรณีนี้รายได้ของผู้ใช้ไฟฟ้า คือ รายได้หรือผลตอบแทนจากการซื้อหรือใช้ไฟฟ้า ซึ่งมีความหมายในลักษณะเดียวกับต้นทุนการผลิตของผู้จ่ายไฟฟ้า กล่าวคือ รายได้และต้นทุนนี้ก็คือมูลค่าของพลังงานไฟฟ้าสำหรับผู้ใช้และผู้จ่ายไฟฟ้า ตามลำดับ

เมื่อกำหนดให้ $B(d)$ คือ รายได้หรือผลตอบแทนจากการใช้ไฟฟ้า และ $C(s)$ คือ ค่าใช้จ่ายหรือต้นทุนจากการผลิตไฟฟ้า ผลประโยชน์รวมของระบบ $S(d,s)$ สามารถนิยามได้เป็น

$$S(d,s) = B(d) - C(s) \quad (3.20)$$

โดย d และ s คือ ปริมาณการใช้และการผลิตไฟฟ้า ตามลำดับ

อย่างไรก็ตาม สำหรับตลาดกลางซื้อขายไฟฟ้าซึ่งมีสมมติฐานให้เป็นตลาดในอุดมคติ (Ideal market) ดังนั้น รายได้หรือผลตอบแทนจากการใช้ไฟฟ้า และ ค่าใช้จ่ายหรือต้นทุนจากการผลิตไฟฟ้า ก็คือราคาเสนอซื้อ และ ราคาเสนอขายไฟฟ้า ตามลำดับ นั่นเอง ดังนั้นการอธิบายการคำนวณผลประโยชน์รวมของระบบสามารถทำได้โดยรูปที่ 3.1



รูปที่ 3.1 ผลประโยชน์รวมของระบบ

จากรูปที่ 3.1 พื้นที่ใต้กราฟการเสนอซื้อไฟฟ้า คือ ผลตอบแทนจากการใช้ไฟฟ้า $B(d)$ ส่วนพื้นที่ใต้กราฟการเสนอขาย คือ ต้นทุนจากการผลิตไฟฟ้า $C(s)$ โดยผลประโยชน์รวมของระบบคือผลต่างระหว่างพื้นที่ทั้งสองหรือพื้นที่ระหว่างกราฟนั่นเอง โดย MCP (Market clearing price) คือ ราคาไฟฟ้าที่ได้จากจุดตัดของกราฟ ซึ่งสมมติให้เป็นราคาที่ใช้ในการซื้อขายพลังงานไฟฟ้า

การจัดสรรกำลังการผลิตในกรณีนี้มีวัตถุประสงค์ คือ หาค่าสูงสุดของผลประโยชน์ของผู้ใช้ไฟฟ้า และ หาค่าต่ำสุดของต้นทุนของผู้จ่ายไฟฟ้า ซึ่งก็คือการหาค่าสูงสุดของพื้นที่ที่อยู่ระหว่างกราฟการเสนอซื้อ และกราฟการเสนอนขายนั่นเอง โดยหลักการการรวมปัญหาของความยืดหยุ่นในการใช้ไฟฟ้ามาร่วมพิจารณานั้น สามารถทำได้โดยการพิจารณาให้ผู้ใช้ไฟฟ้ามี่ค่าเสมือนหนึ่งเป็นผู้ผลิต เพียงแต่เป็นไปในลักษณะตรงกันข้ามกันเท่านั้น ดังนั้นปัญหาการคำนวณสามารถเขียนได้ดังนี้

$$\text{Max} \left\{ \left[\sum_d^{N_d} \sum_{db}^{N_{db}} (p_{db} \times Q_{db}) \right] - \left[\sum_g^{N_g} \sum_{gb}^{N_{gb}} (p_{gb} \times Q_{gb}) \right] \right\} \quad (3.21)$$

$$\text{s.t.} \quad \left[\sum_d^{N_d} \sum_{db}^{N_{db}} (Q_{db}) \right] + P_t - \left[\sum_g^{N_g} \sum_{gb}^{N_{gb}} (Q_{gb}) \right] = 0 \quad (3.22)$$

$$|P_t| - P_{t,limit} \leq 0 \quad \text{for } t \in N_t \quad (3.23)$$

$$0 \leq Q_{db} \leq Q_{db,max} \quad (3.24)$$

$$0 \leq Q_{gb} \leq Q_{gb,max} \quad (3.25)$$

โดย
$$\sum_d^{N_d} \sum_{db}^{N_{db}} (Q_{db}) = \sum_d^{N_d} P_d$$

p_{db}	คือ	ราคาเสนอช่วงที่ b ของผู้ใช้ไฟฟ้า d
Q_{db}	คือ	ปริมาณเสนอช่วงที่ b ของผู้ใช้ไฟฟ้า d
N_{db}	คือ	จำนวนช่วงการเสนอของผู้ใช้ไฟฟ้า d
$Q_{db,max}$	คือ	พิกัดกำลังไฟฟ้าเสนอช่วงที่ b ของผู้ใช้ไฟฟ้า d

เนื่องจากสมการที่ (3.22) และ (3.23) มีลักษณะไม่เป็นเชิงเส้น (nonlinear) ดังนั้นเทคนิคการทำให้เป็นเชิงเส้นรอบจุดทำงานจะถูกนำมาใช้ในการแก้ปัญหาดังนี้

$$\begin{aligned} & \text{Max} \left\{ \left[\sum_d^{N_d} \sum_{db}^{N_{db}} (p_{db} \times (Q_{db}^0 + \Delta Q_{db})) \right] - \left[\sum_g^{N_g} \sum_{gb}^{N_{gb}} (p_{gb} \times (Q_{gb}^0 + \Delta Q_{gb})) \right] \right\} \\ \Rightarrow & \text{Max} \left\{ \left[\sum_d^{N_d} \sum_{db}^{N_{db}} (p_{db} \times Q_{db}^0) + \sum_d^{N_d} \sum_{db}^{N_{db}} (p_{db} \times \Delta Q_{db}) \right] - \left[\sum_g^{N_g} \sum_{gb}^{N_{gb}} (p_{gb} \times Q_{gb}^0) + \sum_g^{N_g} \sum_{gb}^{N_{gb}} (p_{gb} \times \Delta Q_{gb}) \right] \right\} \\ \Rightarrow & \text{Max} \left\{ \left[\sum_d^{N_d} \sum_{db}^{N_{db}} (p_{db} \times \Delta Q_{db}) \right] - \left[\sum_g^{N_g} \sum_{gb}^{N_{gb}} (p_{gb} \times \Delta Q_{gb}) \right] \right\} \quad (3.26) \end{aligned}$$

$$\begin{aligned} \text{s.t.} \quad & \left[\sum_d^{N_d} \sum_{db}^{N_{db}} (Q_{db}^0 + \Delta Q_{db}) \right] + \left[P_i^0 - \sum_d^{N_d} \gamma_d \sum_{db}^{N_{db}} \Delta Q_{db} + \sum_g^{N_g} \gamma_g \sum_{gb}^{N_{gb}} \Delta Q_{gb} \right] \\ & - \left[\sum_g^{N_g} \sum_{gb}^{N_{gb}} (Q_{gb}^0 + \Delta Q_{gb}) \right] = 0 \quad (3.27) \end{aligned}$$

$$\left| P_i^0 - \left(\sum_d^{N_d} \beta_{i,d} \sum_{db}^{N_{db}} \Delta Q_{db} \right) + \left(\sum_g^{N_g} \beta_{i,g} \sum_{gb}^{N_{gb}} \Delta Q_{gb} \right) \right| - P_{i,limit} \leq 0 \quad t \in N_t \quad (3.28)$$

$$0 \leq Q_{db}^0 + \Delta Q_{db} \leq Q_{db,max} \quad (3.29)$$

$$0 \leq Q_{gb}^0 + \Delta Q_{gb} \leq Q_{gb,max} \quad (3.30)$$

โดย	Q_{db}^0	คือ	ปริมาณเสนอช่วงที่ b ของผู้ใช้ไฟฟ้า d ณ จุดทำงานเริ่มต้น
	ΔQ_{db}	คือ	การเปลี่ยนแปลงปริมาณเสนอช่วงที่ b ของผู้ใช้ไฟฟ้า d
	γ_d	คือ	ความไวของกำลังสูญเสียในระบบเมื่อเทียบกับผู้ใช้ไฟฟ้า d
	$\beta_{i,d}$	คือ	ความไวของกำลังไฟฟ้าที่ไหลบนสายส่ง i เมื่อเทียบกับผู้ใช้ไฟฟ้า d

เช่นเดียวกับกรณีผู้จ่ายไฟฟ้า ความไวของกำลังสูญเสียในระบบ และความไวของกำลังไฟฟ้าที่ไหลบนสายส่งเมื่อเทียบกับผู้ใช้ไฟฟ้า d ซึ่งนิยามโดย $\partial P_i / \partial P_d$ และ $\partial P_i / \partial P_d$ โดยอาศัยการวิเคราะห์เอ.ซี. นิวตัน-ราฟสัน กับเทคนิคการหาอนุพันธ์แยกส่วนและเทคนิคกฏลูกโซ่ ดังแสดงต่อไปในหัวข้อที่ 3.3

ข้อสังเกต :

1) หลักการสำคัญการจัดสรรกำลังการผลิตในกรณีที่การใช้ไฟฟ้ามีความยืดหยุ่นจะเหมือนกับการจัดสรรกำลังการผลิตในกรณีที่การใช้ไฟฟ้าไม่มีความยืดหยุ่น โดยส่วนที่แตกต่างกันคือ ตัวแปรการคำนวณในกรณีที่ไม่มีค่าความยืดหยุ่นของการใช้ไฟฟ้าจะมีเพียงปริมาณเสนอขายในแต่ละช่วง Q_{gb} ในขณะที่ตัวแปรการคำนวณในกรณีที่การใช้ไฟฟ้ามีความยืดหยุ่นจะเพิ่มขึ้นในส่วนของการใช้ไฟฟ้าที่ผู้ซื้อจะได้รับการจัดสรรในแต่ละช่วงการเสนอ Q_{db}

2) ในส่วนของปริมาณไฟฟ้าที่ได้รับการจัดสรรกำลังการผลิต จะได้ว่า การจัดสรรกำลังการผลิตโดยใช้ฟังก์ชันวัตถุประสงค์ตามสมการที่ (3.12) มีค่าเท่ากับการจัดสรรกำลังการผลิตโดยให้ผลประโยชน์ของผู้ผลิตไฟฟ้าสูงสุด เช่นเดียวกับการจัดสรรกำลังการผลิตโดยมีฟังก์ชันวัตถุประสงค์ตามสมการที่ (3.21) ก็จะทำให้ผลลัพธ์ของปริมาณกำลังไฟฟ้าที่ได้รับการจัดสรรกำลังการผลิตมีค่าเท่ากับการจัดสรรกำลังการผลิตโดยให้ผลประโยชน์รวมของผู้ผลิตไฟฟ้ากับผลประโยชน์ของผู้ใช้ไฟฟ้าสูงสุด อย่างไรก็ตาม ค่าและความหมายของราคาไฟฟ้าโนดที่ได้จะแตกต่างกัน โดยรายละเอียดของค่าและความหมายของราคาไฟฟ้าโนดนี้ สามารถอธิบายดังแสดงในบทที่ 4 ต่อไป

ขั้นตอนการคำนวณจัดสรรกำลังการผลิตโดยทั่วไปสามารถอธิบายได้ดังนี้

ขั้นตอนที่ 1 : เริ่มต้นด้วยการเก็บรวบรวมข้อมูลการเสนอซื้อและเสนอขายจากสมาชิกในตลาด จากนั้นทำการสร้างกราฟการเสนอซื้อและเสนอขายรวม และทำการหาจุดตัดของกราฟทั้งสอง

ขั้นตอนที่ 2 : เลือกบัสอ้างอิงในระบบ โดยหลักการเลือกบัสอ้างอิง คือ จะเลือกบัสผลิตไฟฟ้าที่เป็นบัสรับผิดชอบการเปลี่ยนแปลงกำลังไฟฟ้าหน่วยสุดท้าย (Marginal bus) ที่มีราคาการเสนอขายต่ำที่สุด จากนั้นทำการหาจุดทำงานของระบบโดยการวิเคราะห์โหลดโพลว์

ขั้นตอนที่ 3 : ตรวจสอบว่ามีสายส่งเส้นใดเกิดความแออัดขึ้น หากพบว่ามีความแออัดเกิดขึ้นก็จะนำสมการพิกัดการไหลของกำลังไฟฟ้าสำหรับสายส่งเส้นนั้นมาเป็นข้อจำกัดเพิ่มขึ้น

ขั้นตอนที่ 4 : คำนวณค่าตัวประกอบความไวของกำลังสูญเสีย และ กำลังบนสายส่ง (ในกรณีที่มีความแออัดเกิดขึ้นบนสายส่ง) ตามวิธีการในหัวข้อที่ 3.3

ขั้นตอนที่ 5 : จากข้อมูลการเสนอซื้อและเสนอขาย และค่าความไวที่คำนวณได้ ทำการสร้างชุดสมการการคำนวณที่ถูกต้องให้เป็นเชิงเส้นตามสมการในหัวข้อที่ 3.1.1 และสมการในหัวข้อที่ 3.1.2 สำหรับกรณีที่การใช้ไฟฟ้าไม่มีความยืดหยุ่น และมีความยืดหยุ่น ตามลำดับ

ขั้นตอนที่ 6 : ทำการปรับค่าปริมาณกำลังการผลิตสำหรับกรณีที่การใช้ไฟฟ้าในระบบไม่มีความยืดหยุ่น หรือ ทั้งปริมาณกำลังการผลิตและปริมาณการใช้ไฟฟ้าในกรณีที่การใช้ไฟฟ้าในระบบมีความยืดหยุ่น

ขั้นตอนที่ 7 : เช่นเดียวกับขั้นตอนที่ 2 ทำการเลือกข้ออ้างอิงและวิเคราะห์โหลดโพล์เพื่อหาจุดทำงานของระบบ

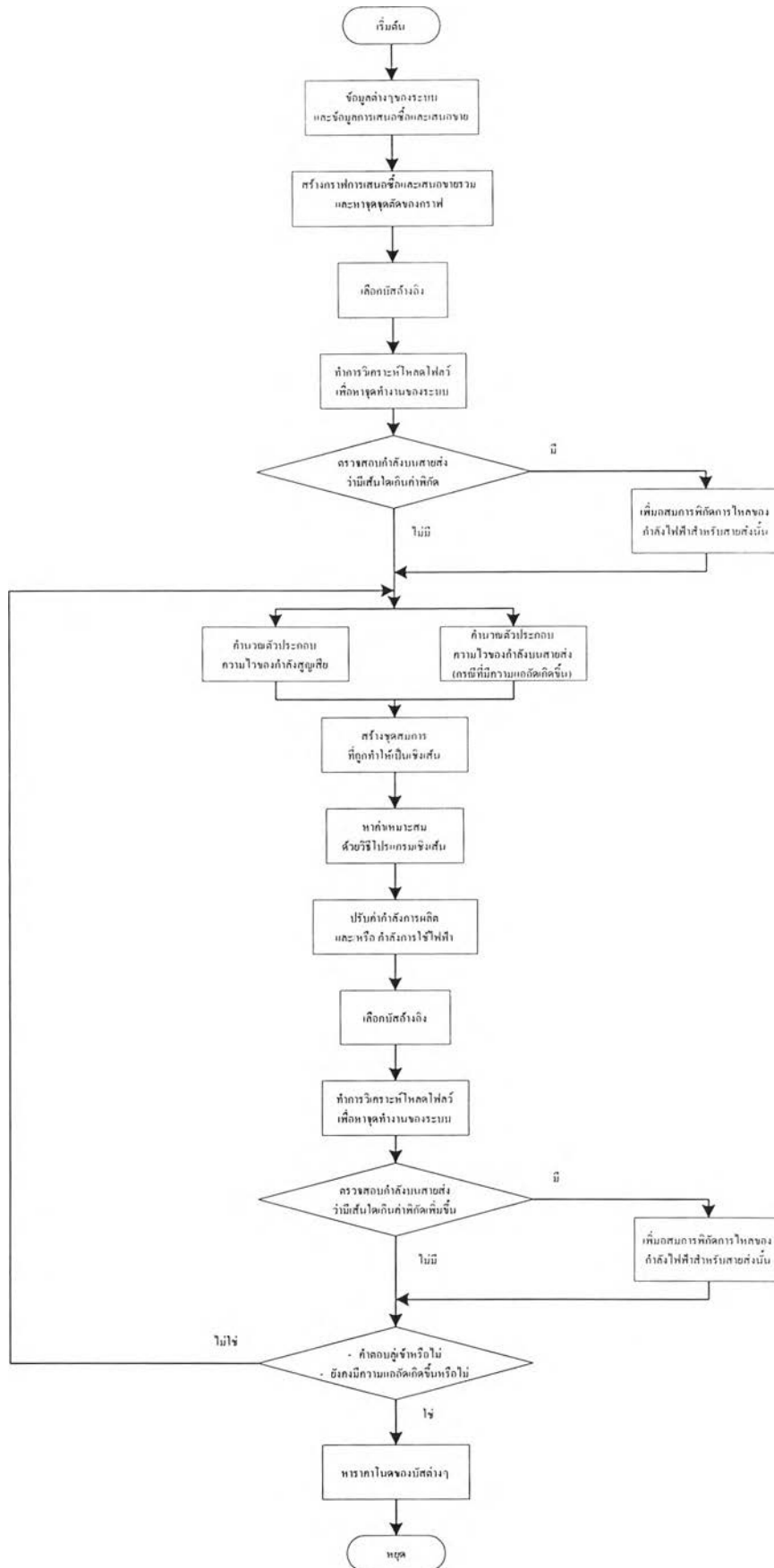
ขั้นตอนที่ 8 : ตรวจสอบว่าหลังจากการปรับค่าการจัดสรรกำลังไฟฟ้า มีสายส่งเส้นใดเกิดความแออัดเพิ่มขึ้นอีกหรือไม่ หากมีสายส่งเส้นใดเกิดความแออัดขึ้นก็จะนำสมการพิกัดการไหลของกำลังไฟฟ้าสำหรับสายส่งเส้นนั้นมาเป็นข้อจำกัดเพิ่มขึ้น

ขั้นตอนที่ 9 : พิจารณาว่าคำตอบที่ได้เป็นที่ยอมรับหรือไม่ โดยพิจารณาจาก การดูเข้าของจุดทำงานของระบบ และ การที่ไม่มีสายส่งเส้นใดในระบบเกิดความแออัดเพิ่มขึ้นอีก

ขั้นตอนที่ 10 : คำนวณราคาไฟฟ้าโนคของบัสต่างๆ และผลทางด้านการเงินที่ต้องการ

หมายเหตุ : ในขั้นตอนที่ 2 การเลือกข้ออ้างอิงโดยทั่วไปเมื่อระบบไม่มีความแออัดของระบบส่งเกิดขึ้น สามารถทำได้โดยให้บัสรับผิดชอบการเปลี่ยนแปลงกำลังไฟฟ้าหน่วยสุดท้ายซึ่งมีเพียงบัสเดียวเป็นบัสอ้างอิง ส่วนในกรณีที่ระบบมีความแออัดของระบบส่งเกิดขึ้น จะส่งผลให้บัสรับผิดชอบการเปลี่ยนแปลงกำลังไฟฟ้าหน่วยสุดท้ายมีมากกว่าหนึ่งบัส ดังนั้นจึงต้องทำการเลือกบัสรับผิดชอบการเปลี่ยนแปลงกำลังไฟฟ้าหน่วยสุดท้ายที่มีราคาการเสนอขายต่ำที่สุดเป็นบัสอ้างอิง

การคำนวณการจัดสรรกำลังการผลิตโดยทั่วไป สามารถสรุปเป็นขั้นตอนการคำนวณได้ดังรูปที่ 3.2



รูปที่ 3.2 Flowchart สรุปขั้นตอนการคำนวณการจัดสรรกำลังการผลิตโดยทั่วไป

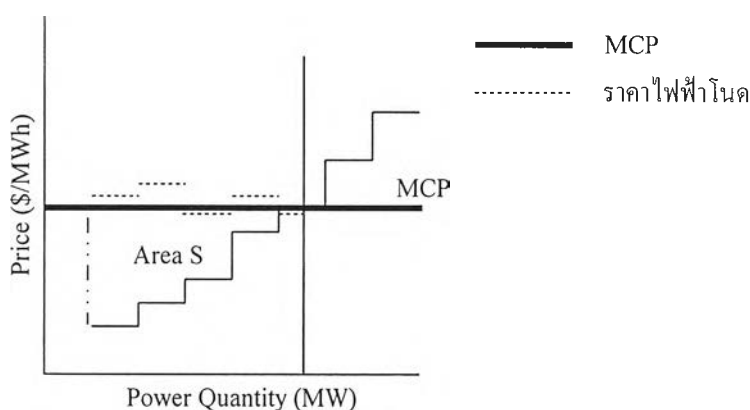
3.2 การจัดสรรกำลังการผลิตโดยพิจารณาถึงราคาไฟฟ้าจริง

เนื่องจากการซื้อขายพลังงานไฟฟ้าในตลาดกลางการซื้อขายไฟฟ้าในทางปฏิบัติ ราคาไฟฟ้าที่ผู้ใช้ไฟฟ้าต้องเสียและราคาไฟฟ้าที่ผู้จ่ายไฟฟ้าได้รับนั้น จะขึ้นอยู่กับตำแหน่งที่ตั้งในระบบของผู้ใช้ไฟฟ้าและผู้จ่ายไฟฟ้า ซึ่งราคาไฟฟ้านี้เรียกว่า ราคาแบบโนดหรือราคาแบบโซน ซึ่งขึ้นอยู่กับตลาดกลางการซื้อขายไฟฟ้าว่าจะเลือกใช้ระบบราคาไฟฟ้าแบบใด หรือการใช้แบบรวมกันทั้งสองระบบ โดยรายละเอียดการคำนวณราคาไฟฟ้าได้นำแสดงไว้ในบทที่ 4

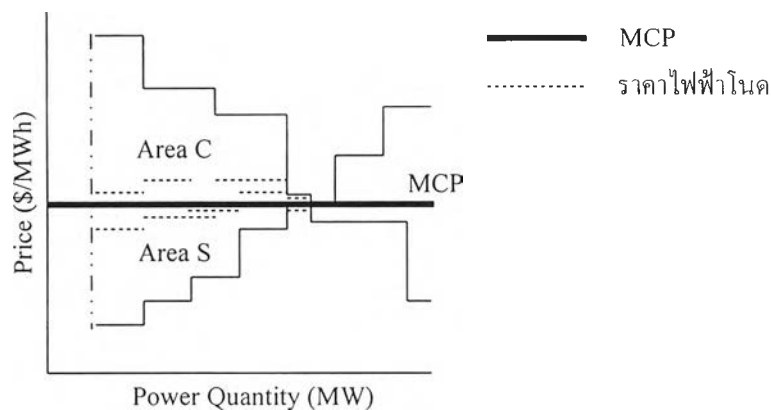
ดังนั้นการคำนวณการจัดสรรกำลังการผลิตโดยทั่วไปจึงไม่สามารถคำนวณผลประโยชน์รวมของระบบได้อย่างถูกต้อง เพราะวิธีการจัดสรรกำลังการผลิตโดยทั่วไปนั้น อาศัยหลักการบนพื้นฐานของตลาดกลางไฟฟ้าที่มีราคาไฟฟ้าค่าเดียว คือ MCP ซึ่งได้จากจุดตัดของกราฟการเสนอซื้อและเสนอขายของสมาชิกในตลาด ซึ่งในทางปฏิบัติราคาไฟฟ้าที่ได้จากจุดตัดของกราฟนี้จะมีค่าแตกต่างจากราคาไฟฟ้าทั้งแบบโนดหรือแบบโซน

โดยในหัวข้อนี้จะกำหนดสมมติให้การซื้อขายไฟฟ้าในตลาดกลางการซื้อขายไฟฟ้าของสมาชิกในตลาดทั้งหมดใช้ราคาไฟฟ้าแบบโนด เพื่อแสดงความชัดเจนของผลของราคาไฟฟ้าที่แตกต่างกันประจำแต่ละบัส

รูปที่ 3.3 และ 3.4 แสดงความแตกต่างของ MCP และราคาไฟฟ้าแบบโนดของสมาชิกในตลาดประจำแต่ละช่วงการเสนอ (เส้นประ) และ ความแตกต่างของพื้นที่ที่ได้รับ สำหรับกรณีที่มีและไม่มีความยืดหยุ่นของการใช้ไฟฟ้า ตามลำดับ



รูปที่ 3.3 ความแตกต่างของราคาไฟฟ้าโนดและ MCP และพื้นที่ที่ได้รับ สำหรับกรณีที่ไม่มีความยืดหยุ่นของการใช้ไฟฟ้า



รูปที่ 3.4 ความแตกต่างของราคาไฟฟ้าโนดและ MCP และพื้นที่ที่ได้รับ สำหรับกรณีที่มีความยืดหยุ่นของการใช้ไฟฟ้า

จากรูปที่ 3.3 และ 3.4 จะพบว่า MCP (เส้นทึบ) จะมีค่าแตกต่างจากราคาไฟฟ้าที่ใช้ในการซื้อขายไฟฟ้าจริง ซึ่งส่งผลให้ผลประโยชน์รวมของทั้งฝ่ายผู้จ่ายไฟฟ้า (Area S) และผู้ใช้ไฟฟ้า (Area C) ซึ่งได้จาก MCP แตกต่างจากผลประโยชน์รวมของระบบที่แท้จริง ที่ได้จากราคาไฟฟ้าแบบโนด

ดังนั้นในหัวข้อนี้จะได้นำเสนอการจำลองการดำเนินการผลิตที่คำนึงถึงราคาไฟฟ้าจริงที่ใช้ในการซื้อขายไฟฟ้าของสมาชิกในตลาดทั้งหมด โดยพิจารณาแบ่งเป็นกรณีในตลาดกลางซื้อขายไฟฟ้า มีและไม่มี ความยืดหยุ่นของการใช้ไฟฟ้า ดังแสดงในหัวข้อที่ 3.2.1 และ 3.2.2

3.2.1 การจำลองการดำเนินการผลิตที่ไม่มี ความยืดหยุ่นของการใช้ไฟฟ้า โดยพิจารณาถึงราคาไฟฟ้าจริง

ในหัวข้อที่ 3.1.1 วัตถุประสงค์ของการจำลองการดำเนินการผลิต คือ การหาค่าต่ำสุดของต้นทุนการผลิตไฟฟ้า หรือ ผลคูณของราคาไฟฟ้าเสนอขาย และปริมาณไฟฟ้าเสนอขาย ซึ่งในการจำลองการดำเนินการผลิตที่ไม่มี ความยืดหยุ่นของการใช้ไฟฟ้าโดยพิจารณาถึงราคาไฟฟ้าจริงจะเปลี่ยนฟังก์ชันวัตถุประสงค์เป็นดังนี้

$$Objective\ function = \sum_g^{N_g} \{ [nodal\ price_g - offered\ price_g] \times offered\ quantity_g \} \quad (3.31)$$

โดย $nodal\ price_g$ มีค่าเป็นบวก

สมการที่ (3.31) สามารถเขียนได้ในรูปของปัญหาการคำนวณค่าเหมาะสม โดยใช้ข้อมูลการเสนอขายไฟฟ้าได้ดังนี้

$$\text{Max} \left\{ \sum_g^{N_g} \sum_{gb}^{N_{gb}} [(\rho_g - p_{gb}) \times Q_{gb}] \right\} \quad (3.32)$$

โดย ρ_g คือ ราคาไฟฟ้าโนดที่ผู้จ่ายไฟฟ้าได้รับ และมีข้อจำกัดเงื่อนไขของการจัดสรรกำลังการผลิตเหมือนกับในสมการที่ (3.13) ถึง (3.15)

3.2.2 การจัดสรรกำลังการผลิตที่มีความยืดหยุ่นของการใช้ไฟฟ้า โดยพิจารณาถึงราคาไฟฟ้าจริง

ในหัวข้อนี้จะพิจารณาผลของความยืดหยุ่นในการใช้ไฟฟ้าในระบบ ซึ่งสามารถนำหลักการการหาค่าสูงสุดของผลประโยชน์รวมของระบบมาใช้ได้ เนื่องจากหลักการนี้ครอบคลุมถึงผลประโยชน์ของทางด้านผู้ใช้ไฟฟ้า ดังนั้นรูปแบบการคำนวณจะมีฟังก์ชันวัตถุประสงค์ดังนี้

$$\begin{aligned} \text{Objective function} = & \sum_d^{N_d} \{ \text{bid price}_d - \text{nodal price}_d \} \times \text{bid quantity}_d \} \\ & + \sum_g^{N_g} \{ \text{nodal price}_g - \text{offered price}_g \} \times \text{offered quantity}_g \} \end{aligned} \quad (3.33)$$

โดยทั้ง nodal price_d และ nodal price_g มีค่าเป็นบวก

สมการที่ (3.33) สามารถเขียนได้ในรูปของปัญหาการคำนวณค่าเหมาะสมโดยใช้ข้อมูลการเสนอซื้อและเสนอขายไฟฟ้าได้ดังนี้

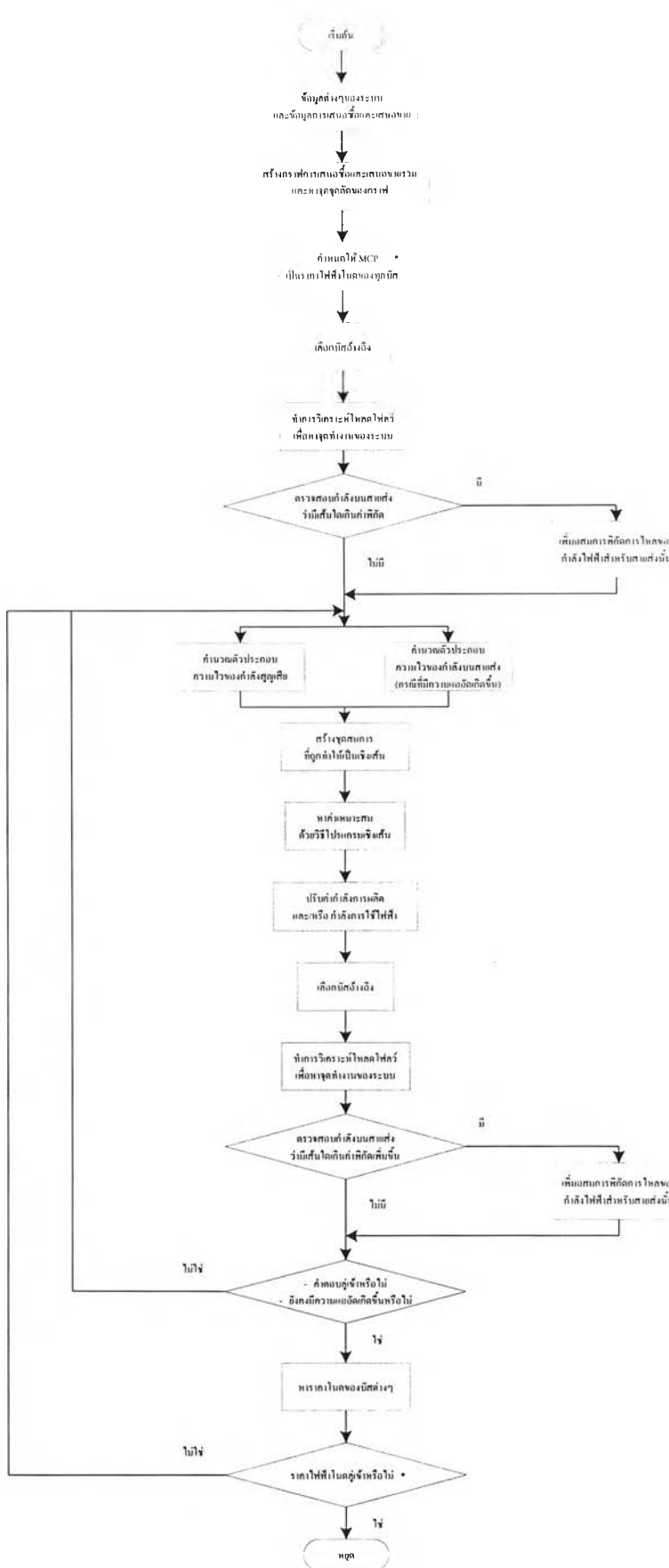
$$\text{Max} \left\{ \left[\sum_d^{N_d} \sum_{db}^{N_{db}} ((p_{db} - \rho_d) \times Q_{db}) \right] + \left[\sum_g^{N_g} \sum_{gb}^{N_{gb}} ((\rho_g - p_{gb}) \times Q_{gb}) \right] \right\} \quad (3.34)$$

โดย ρ_d คือ ราคาไฟฟ้าโนดที่ผู้ใช้ไฟฟ้าต้องจ่าย และมีข้อจำกัดเงื่อนไขของการจัดสรรกำลังการผลิตเหมือนกับในสมการที่ (3.22) ถึง (3.25)

การคำนวณหาคำตอบของปัญหาการจัดสรรกำลังการผลิตในหัวข้อ 3.2.1 และ 3.2.2 นี้สามารถแก้ไขด้วยวิธีการเช่นเดียวกันกับกรณีการจัดสรรกำลังการผลิตโดยทั่วไป คือ การนำเทคนิคการทำให้เป็นเชิงเส้นรอบจุดทำงานมาใช้ในการแก้ปัญหา

ขั้นตอนในการคำนวณการจัดสรรกำลังการผลิตโดยพิจารณาถึงราคาไฟฟ้าจริงนี้จะคล้ายกับการจัดสรรกำลังการผลิตโดยวิธีทั่วไป ซึ่งสามารถสรุปได้ดังรูปที่ 3.5





รูปที่ 3.5 ขั้นตอนการคำนวณการจัดสรรกำลังการผลิตโดยพิจารณาถึงราคาไฟฟ้าจริง

จากรูปที่ 3.5 จะพบว่าขั้นตอนต่างๆคล้ายกับการจัดสรรกำลังการผลิตโดยทั่วไป จะแตกต่างกันใน 2 ขั้นตอนที่มีเครื่องหมาย * นั่นคือ ขั้นตอนการกำหนดราคาไฟฟ้าโนดของบัสต่างๆให้มีค่าเท่ากับ ค่า MCP สำหรับการคำนวณในรอบแรก และ ขั้นตอนการตรวจสอบว่าราคาไฟฟ้าโนดของทุกบัสลู่เข้าหรือไม่

3.3 การคำนวณความไวของกำลังสูญเสียและความไวของกำลังไฟฟ้าที่ไหลบนสายส่ง

ในหัวข้อนี้จะเป็นการแสดงการคำนวณค่าความไวของกำลังสูญเสียในระบบและกำลังไฟฟ้าที่ไหลบนสายส่ง เทียบกับการเปลี่ยนแปลงของกำลังไฟฟ้าสุทธิ ณ บัสต่างๆ ซึ่งนำไปใช้ในการจัดสรรกำลังการผลิตดังแสดงในหัวข้อที่ 3.1 และ 3.2 นอกจากนี้ค่าความไวของกำลังสูญเสียในระบบและกำลังไฟฟ้าที่ไหลบนสายส่งยังมีผลต่อราคาไฟฟ้าแบบโนดดังที่จะนำเสนอในบทต่อไป

3.3.1 การคำนวณความไวของกำลังสูญเสียในระบบเมื่อเทียบกับกำลังไฟฟ้าสุทธิที่จ่ายเข้าบัสต่างๆ

การคำนวณความไวของกำลังสูญเสียในระบบสามารถทำการคำนวณได้ 2 วิธี คือ

- 1) การคำนวณโดยพิจารณาว่ากำลังสูญเสียในระบบได้รับการชดเชยจากบัสอ้างอิง
- 2) การคำนวณโดยพิจารณาว่ากำลังสูญเสียในระบบได้รับการชดเชยจากบัสต่างๆในระบบ

อย่างไรก็ตาม การคำนวณในวิทยานิพนธ์ฉบับนี้จะเลือกใช้การคำนวณในวิธีที่ 2 เนื่องจากในสถานะของตลาดกลางซื้อขายไฟฟ้านั้น สมาชิกในตลาดซึ่งอยู่ประจำบัสต่างๆ ควรมีความเท่าเทียมกันในการแข่งขัน ดังนั้นจึงควรพิจารณาให้บัสต่างๆมีส่วนร่วมในการชดเชยกำลังสูญเสียในระบบที่เกิดขึ้น

1) การคำนวณโดยพิจารณาว่ากำลังสูญเสียในระบบได้รับการชดเชยจากบัสอ้างอิง

การคำนวณค่าความไวของกำลังสูญเสียในระบบโดยวิธีนี้จะใช้สมมติฐานว่ากำลังสูญเสียทั้งหมดที่เกิดขึ้นในระบบได้รับการชดเชยจากบัสอ้างอิง โดยวิธีการเลือกบัสอ้างอิงที่ได้กล่าวในหัวข้อที่ 3.1 ดังนั้นสามารถเขียนสมการแสดงการจ่ายกำลังไฟฟ้าของบัสอ้างอิงที่สัมพันธ์กับกำลังไฟฟ้าสูญเสียได้ดังนี้

$$P_{ref} = P_{ref,load} + P_L \quad (3.35)$$

โดยที่ P_{ref} คือ กำลังไฟฟ้าจริงจากเครื่องกำเนิดไฟฟ้าที่บัสอ้างอิง
 $P_{ref,load}$ คือ กำลังไฟฟ้าจริงที่รวมจ่ายให้โหลดในระบบโดยบัสอ้างอิง
 P_L คือ กำลังไฟฟ้าจริงทั้งหมดที่สูญเสียในระบบ

เนื่องจากค่ากำลังไฟฟ้าจริงที่รวมจ่ายให้โหลดในระบบโดยบัสอ้างอิง $P_{ref,load}$ นี้มีค่าคงที่ จะได้ว่า การเปลี่ยนแปลงกำลังไฟฟ้าที่จ่ายโดยบัสอ้างอิงเท่ากับการเปลี่ยนแปลงกำลังไฟฟ้าสูญเสียของระบบดังนี้

$$\Delta P_{ref} = \Delta P_L \quad (3.36)$$

โดยการทำอนุพันธ์ (Differentiation) เทียบกับมุมเฟสของแรงดัน ณ บัส m ใดๆ จะได้

$$\frac{\partial P_{ref}}{\partial \delta_m} = \frac{\partial P_L}{\partial \delta_m} \quad (3.37)$$

และเทียบกับขนาดของแรงดัน ณ บัส m ใดๆ จะได้

$$\frac{\partial P_{ref}}{\partial |V_m|} = \frac{\partial P_L}{\partial |V_m|} \quad (3.38)$$

เนื่องจากกำลังไฟฟ้าสูญเสียทั้งหมดในระบบมีค่าขึ้นอยู่กับอยู่กำลังไฟฟ้าจริงและกำลังไฟฟ้ารีแอกทีฟ ณ บัสต่างๆที่จ่ายเข้าสู่ระบบ โดยกำลังไฟฟ้าจริงและกำลังไฟฟ้ารีแอกทีฟ ณ บัสต่างๆที่จ่ายเข้าสู่ระบบนี้ ขึ้นอยู่กับขนาดของแรงดันและมุมเฟสของแรงดัน ณ บัส m ใดๆ ดังนั้นสมการที่ (3.37) และ (3.38) สามารถใช้ทฤษฎีอนุพันธ์แยกส่วน (Partial differentiation) และกฎลูกโซ่ (Chain rule) ได้ดังนี้

$$\frac{\partial P_{ref}}{\partial \delta_m} = \frac{\partial P_L}{\partial \delta_m} = \sum_{i=1}^N \left[\frac{\partial P_L}{\partial P_i} \cdot \frac{\partial P_i}{\partial \delta_m} + \frac{\partial P_L}{\partial Q_i} \cdot \frac{\partial Q_i}{\partial \delta_m} \right] \quad (3.39)$$

และ

$$\frac{\partial P_{ref}}{\partial |V_m|} = \frac{\partial P_L}{\partial |V_m|} = \sum_{i=1}^N \left[\frac{\partial P_L}{\partial P_i} \cdot \frac{\partial P_i}{\partial |V_m|} + \frac{\partial P_L}{\partial Q_i} \cdot \frac{\partial Q_i}{\partial |V_m|} \right] \quad (3.40)$$

ซึ่งสามารถเขียนในรูปเมตริกซ์ได้ดังนี้

$$\begin{bmatrix} \frac{\partial P_{ref}}{\partial \delta_m} \\ \frac{\partial P_{ref}}{\partial |V_m|} \end{bmatrix} = \begin{bmatrix} \frac{\partial P_i}{\partial \delta_m} & \frac{\partial Q_i}{\partial \delta_m} \\ \frac{\partial P_i}{\partial |V_m|} & \frac{\partial Q_i}{\partial |V_m|} \end{bmatrix} \begin{bmatrix} \frac{\partial P_L}{\partial P_i} \\ \frac{\partial P_L}{\partial Q_i} \end{bmatrix} \quad (3.41)$$

โดยที่ $\frac{\partial P_i}{\partial \delta_m}$, $\frac{\partial P_i}{\partial |V_m|}$, $\frac{\partial Q_i}{\partial \delta_m}$, $\frac{\partial Q_i}{\partial |V_m|}$ คือ สมาชิกในเมตริกซ์จาโคเบียน ดังนั้นสมการที่ (3.41)

สามารถเขียนใหม่ได้เป็น

$$\begin{bmatrix} \frac{\partial P_{ref}}{\partial \delta_m} \\ \frac{\partial P_{ref}}{\partial |V_m|} \end{bmatrix} = [J^T] \begin{bmatrix} \frac{\partial P_L}{\partial P_i} \\ \frac{\partial P_L}{\partial Q_i} \end{bmatrix} \quad (3.42)$$

ดังนั้นค่าความไวของกำลังสูญเสียในระบบเมื่อเทียบกับกำลังไฟฟ้าสุทธิที่จ่ายเข้าบัสต่างๆ คือ

$$\begin{bmatrix} \frac{\partial P_L}{\partial P_i} \\ \frac{\partial P_L}{\partial Q_i} \end{bmatrix} = [J^T]^{-1} \begin{bmatrix} \frac{\partial P_{ref}}{\partial \delta_m} \\ \frac{\partial P_{ref}}{\partial |V_m|} \end{bmatrix} \quad (3.43)$$

2) การคำนวณ โดยพิจารณาว่ากำลังสูญเสียในระบบได้รับการชดเชยจากบัสต่างๆในระบบ

การคำนวณค่าความไวของกำลังสูญเสียในระบบโดยวิธีนี้จะใช้สมมติฐานว่ากำลังสูญเสียทั้งหมดที่เกิดขึ้นในระบบได้รับการชดเชยจากบัสต่างๆในระบบ ดังนั้นสามารถเขียนสมการแสดงการจ่ายกำลังไฟฟ้าของบัสต่างๆที่สัมพันธ์กับกำลังไฟฟ้าสูญเสียในระบบได้ดังนี้

$$(P_1 - P_{1,load}) + (P_2 - P_{2,load}) + \dots + (P_i - P_{i,load}) + \dots + (P_N - P_{N,load}) = P_L \quad (3.44)$$

โดยที่ P_i	คือ กำลังไฟฟ้าจริงจากเครื่องกำเนิดไฟฟ้าที่บัส i
$P_{i,load}$	คือ กำลังไฟฟ้าจริงที่ร่วมจ่ายให้โหลดในระบบโดยบัส i
P_L	คือ กำลังไฟฟ้าจริงทั้งหมดที่สูญเสียในระบบ

สมการที่ (3.44) สามารถเขียนได้ในรูปของกำลังการผลิตของเครื่องกำเนิดไฟฟ้า และปริมาณโหลด ณ แต่ละบัสได้เป็น

$$\sum_{i_g=1}^{N_g} P_{i_g} + \sum_{i_l=1}^{N_l} P_{i_l} = P_L \quad (3.45)$$

โดยที่ P_{i_g}	คือ	ปริมาณการผลิตจากเครื่องกำเนิดไฟฟ้าที่ i_g
P_{i_l}	คือ	ปริมาณโหลดจากโหลดที่ i_l
N_g	คือ	จำนวนเครื่องกำเนิดไฟฟ้าทั้งหมดในระบบ
N_l	คือ	จำนวนโหลดทั้งหมดในระบบ

สมการดังกล่าวมีชื่อเรียกว่า สมการสมดุลกำลังไฟฟ้า (Power balance equation) และสามารถแทนผลรวมกำลังการผลิตและปริมาณโหลดด้านซ้ายของสมการด้วยสมการการไหลของกำลังไฟฟ้า (Power flow equation) ของทุกบัสในระบบ ดังนี้

$$\sum_{i=1}^N \sum_{j=1}^N |V_i| |V_j| y_{ij} [\cos(\delta_i - \delta_j - \theta_{ij})] = P_L \quad (3.46)$$

เช่นเดียวกับการคำนวณโดยวิธีพิจารณาว่ากำลังสูญเสียในระบบได้รับการชดเชยจากบัสอ้างอิง โดยการใช้อนุพันธ์ย่อยแยกส่วน (Partial differentiation) และกฎลูกโซ่ (Chain rule) จะได้

$$\frac{\partial P_L}{\partial \delta_m} = \sum_{i=1}^N \left[\frac{\partial P_L}{\partial P_i} \cdot \frac{\partial P_i}{\partial \delta_m} + \frac{\partial P_L}{\partial Q_i} \cdot \frac{\partial Q_i}{\partial \delta_m} \right] \quad (3.47)$$

และ

$$\frac{\partial P_L}{\partial |V_m|} = \sum_{i=1}^N \left[\frac{\partial P_L}{\partial P_i} \cdot \frac{\partial P_i}{\partial |V_m|} + \frac{\partial P_L}{\partial Q_i} \cdot \frac{\partial Q_i}{\partial |V_m|} \right] \quad (3.48)$$

ซึ่งสามารถเขียนในรูปเมตริกซ์ได้ดังนี้

$$\begin{bmatrix} \frac{\partial P_L}{\partial \delta_m} \\ \frac{\partial P_L}{\partial V_m} \end{bmatrix} = \begin{bmatrix} \frac{\partial P_i}{\partial \delta_m} & \frac{\partial Q_i}{\partial \delta_m} \\ \frac{\partial P_i}{\partial V_m} & \frac{\partial Q_i}{\partial V_m} \end{bmatrix} \begin{bmatrix} \frac{\partial P_L}{\partial P_i} \\ \frac{\partial P_L}{\partial Q_i} \end{bmatrix} \quad (3.49)$$

โดยที่ $\frac{\partial P_i}{\partial \delta_m}$, $\frac{\partial P_i}{\partial V_m}$, $\frac{\partial Q_i}{\partial \delta_m}$, $\frac{\partial Q_i}{\partial V_m}$ คือ สมาชิกในเมตริกซ์จาโคเบียน ดังนั้นสมการที่ (3.49) สามารถเขียนใหม่ได้เป็น

$$\begin{bmatrix} \frac{\partial P_L}{\partial \delta_m} \\ \frac{\partial P_L}{\partial V_m} \end{bmatrix} = [J^T] \begin{bmatrix} \frac{\partial P_L}{\partial P_i} \\ \frac{\partial P_L}{\partial Q_i} \end{bmatrix} \quad (3.50)$$

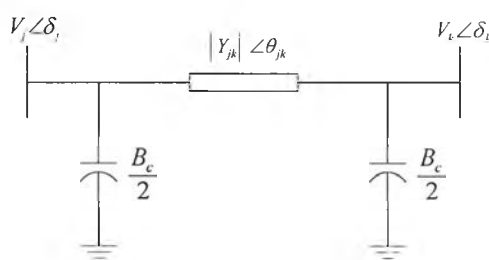
ดังนั้นค่าความไวของกำลังสูญเสียในระบบเมื่อเทียบกับกำลังไฟฟ้าสุทธิต่างๆ คือ

$$\begin{bmatrix} \frac{\partial P_L}{\partial P_i} \\ \frac{\partial P_L}{\partial Q_i} \end{bmatrix} = [J^T]^{-1} \begin{bmatrix} \frac{\partial P_L}{\partial \delta_m} \\ \frac{\partial P_L}{\partial V_m} \end{bmatrix} \quad (3.51)$$

โดย P_L ในสมการด้านขวาคือสมการที่ (3.46)

3.3.2 การคำนวณความไวของกำลังไฟฟ้าที่ไหลบนสายส่งเมื่อเทียบกับกำลังไฟฟ้าสุทธิต่างๆ

โดยการพิจารณาสายส่ง ซึ่งต่ออยู่ที่บัส j และ k ดังแสดงในรูปที่ 3.6 สมการของกำลังปรากฏที่ไหลในสายส่งแสดงดังสมการที่ (3.52)



รูปที่ 3.6 แบบจำลองสายส่ง

$$S_{jk} = |V_j|^2 |Y_{jk}| \angle -\theta_{jk} - |V_j| |V_k| |Y_{jk}| \angle \delta_j - \delta_k - \theta_{jk} + j \frac{B_c}{2} |V_j| |V_k| \quad (3.52)$$

จะได้ส่วนจริงในสมการ (3.52) เป็นดังนี้

$$P_{jk} = |V_j|^2 |Y_{jk}| \cos(\theta_{jk}) - |V_j| |V_k| |Y_{jk}| \cos(\delta_j - \delta_k - \theta_{jk}) \quad (3.53)$$

โดยที่	S_{jk}	คือ	กำลังปรากฏที่ไหลในสายส่ง j-k
	P_{jk}	คือ	กำลังจริงที่ไหลในสายส่ง j-k
	$ V_j , V_k $	คือ	ขนาดแรงดันที่บัส j และ k ตามลำดับ
	δ_j, δ_k	คือ	มุมของแรงดันที่บัส j และ k ตามลำดับ
	$Y_{jk} \angle \theta_{jk}$	คือ	ค่าแอดมิตแตนซ์ของสายส่ง
	B_c	คือ	ค่าชัศเชิงพแดนที่ของตัวอัดประจุสายส่ง

เช่นเดียวกับการคำนวณความไวของกำลังสูญเสียในระบบ สามารถคำนวณความไวของกำลังไฟฟ้าที่ไหลบนสายส่งเมื่อเทียบกับกำลังไฟฟ้าสุทธิที่จ่ายเข้าบัสต่างๆ ได้ดังนี้

โดยการใช้ทฤษฎีอนุพันธ์แยกส่วน และกฎลูกโซ่ จะได้

$$\frac{\partial P_{jk}}{\partial \delta_m} = \sum_{i=1}^N \left[\frac{\partial P_{jk}}{\partial P_i} \cdot \frac{\partial P_i}{\partial \delta_m} + \frac{\partial P_{jk}}{\partial Q_i} \cdot \frac{\partial Q_i}{\partial \delta_m} \right] \quad (3.54)$$

และ

$$\frac{\partial P_{jk}}{\partial |V_m|} = \sum_{i=1}^N \left[\frac{\partial P_{jk}}{\partial P_i} \cdot \frac{\partial P_i}{\partial |V_m|} + \frac{\partial P_{jk}}{\partial Q_i} \cdot \frac{\partial Q_i}{\partial |V_m|} \right] \quad (3.55)$$

โดยที่	N	คือ	จำนวนบัสในระบบไฟฟ้า
	P_i	คือ	กำลังไฟฟ้าจริงสุทธิที่ฉีดเข้าบัสที่ i
	Q_i	คือ	กำลังไฟฟ้ารแอคทีฟสุทธิที่ฉีดเข้าบัสที่ i
	δ_m	คือ	มุมของแรงดันไฟฟ้าที่บัส m
	$ V_m $	คือ	ขนาดของแรงดันไฟฟ้าที่บัส m

ซึ่งสามารถเขียนในรูปเมตริกซ์ได้ดังนี้

$$\begin{bmatrix} \frac{\partial P_{jk}}{\partial \delta_m} \\ \frac{\partial P_{jk}}{\partial V_m} \end{bmatrix} = \begin{bmatrix} \frac{\partial P_i}{\partial \delta_m} & \frac{\partial Q_i}{\partial \delta_m} \\ \frac{\partial P_i}{\partial V_m} & \frac{\partial Q_i}{\partial V_m} \end{bmatrix} \begin{bmatrix} \frac{\partial P_{jk}}{\partial P_i} \\ \frac{\partial P_{jk}}{\partial Q_i} \end{bmatrix} \quad (3.56)$$

โดยที่ $\frac{\partial P_i}{\partial \delta_m}$, $\frac{\partial P_i}{\partial V_m}$, $\frac{\partial Q_i}{\partial \delta_m}$, $\frac{\partial Q_i}{\partial V_m}$ คือ สมาชิกในเมตริกซ์จาโคเบียน ดังนั้นสมการที่ (3.56)

สามารถเขียนใหม่ได้เป็น

$$\begin{bmatrix} \frac{\partial P_{jk}}{\partial \delta_m} \\ \frac{\partial P_{jk}}{\partial V_m} \end{bmatrix} = [J^T] \begin{bmatrix} \frac{\partial P_{jk}}{\partial P_i} \\ \frac{\partial P_{jk}}{\partial Q_i} \end{bmatrix} \quad (3.57)$$

ดังนั้นค่าความไวของกำลังไฟฟ้าที่ไหลบนสายส่งเมื่อเทียบกับกำลังไฟฟ้าสุทธิที่จ่ายเข้าบัสต่างๆ คือ

$$\begin{bmatrix} \frac{\partial P_{jk}}{\partial P_i} \\ \frac{\partial P_{jk}}{\partial Q_i} \end{bmatrix} = [J^T]^{-1} \begin{bmatrix} \frac{\partial P_{jk}}{\partial \delta_m} \\ \frac{\partial P_{jk}}{\partial V_m} \end{bmatrix} \quad (3.58)$$

โดยที่ $\frac{\partial P_{jk}}{\partial P_i}$ คือ ค่าความไวของกำลังไฟฟ้าที่ไหลบนสายส่ง j-k เทียบกับกำลังไฟฟ้าจริงสุทธิที่จ่ายเข้าบัส i

$\frac{\partial P_{jk}}{\partial Q_i}$ คือ ค่าความไวของกำลังไฟฟ้าที่ไหลบนสายส่ง j-k เทียบกับกำลังไฟฟ้าวีแอดทีฟสุทธิที่จ่ายเข้าบัส i

สมการที่ (3.58) สามารถหาคำตอบได้โดยการแทนค่าอินเวอร์สของเมตริกซ์จาโคเบียน และ ค่าการหาอนุพันธ์แยกส่วนของกำลังไฟฟ้าที่ไหลบนสายส่งเทียบกับมุมและขนาดของแรงดันไฟฟ้า ซึ่งค่าการหาอนุพันธ์แยกส่วนดังกล่าวสามารถคำนวณได้จากสมการที่ (3.53) ดังแสดง

$$\frac{\partial P_{jk}}{\partial \delta_m} = \begin{cases} 0 & \text{for } m \neq j \text{ and } k \\ |V_j||V_k||Y_{jk}| \sin(\delta_j - \delta_k - \theta_{jk}) & \text{for } m = j \\ -|V_j||V_k||Y_{jk}| \sin(\delta_j - \delta_k - \theta_{jk}) & \text{for } m = k, \end{cases} \quad (3.59)$$

และ

$$\frac{\partial P_{jk}}{\partial |V_m|} = \begin{cases} 0 & \text{for } m \neq j \text{ and } k \\ 2|V_j||Y_{jk}| \cos(\theta_{jk}) - |V_j||Y_{jk}| \cos(\delta_j - \delta_k - \theta_{jk}) & \text{for } m = j \\ -|V_j||Y_{jk}| \cos(\delta_j - \delta_k - \theta_{jk}) & \text{for } m = k \end{cases} \quad (3.60)$$

เมตริกซ์จาโคเบียนในสมการที่ (3.58) เป็นเมตริกซ์จาโคเบียนของระบบไฟฟ้าซึ่งได้จากการกำหนดบัสใดบัสหนึ่งในระบบให้เป็นบัสอ้างอิง ดังนั้นค่าความไวของกำลังไฟฟ้าบนสายส่ง j-k ใดๆ จะมีค่าเป็นศูนย์สำหรับพจน์ที่เทียบกับกำลังไฟฟ้าที่ฉีดเข้าบัสอ้างอิงที่กำหนดนั้น ซึ่งหมายความว่า การเปลี่ยนแปลงกำลังไฟฟ้าที่บัสอ้างอิงจะไม่มีผลต่อกำลังไฟฟ้าที่ไหลบนสายส่ง j-k ซึ่งผลลัพธ์ดังกล่าวนอกจากจะส่งผลต่อการจัดสรรกำลังการผลิตแล้ว ยังส่งผลกระทบต่อราคาไฟฟ้าที่ผู้ผลิตไฟฟ้าจะได้รับ หรือผู้ซื้อไฟฟ้าจะต้องจ่ายดังแสดงต่อไปในบทที่ 4

เนื่องจากการจัดสรรกำลังการผลิตในตลาดกลางซื้อขายไฟฟ้าควรมีสภาพการแข่งขันที่สมบูรณ์ สมาชิกในตลาดทุกรายควรได้รับสิทธิในการซื้อกำลังไฟฟ้าหรือจ่ายกำลังไฟฟ้าอย่างเท่าเทียมกัน และควรมีส่วนร่วมในการรับผิดชอบผลที่เกิดกับระบบไฟฟ้าเหมือนกัน ดังนั้นการคำนวณค่าความไวของกำลังไฟฟ้าบนสายส่งในวิทยานิพนธ์ฉบับนี้ จะใช้สมมติฐานที่ว่าบัสอ้างอิงในระบบต้องมีส่วนร่วมในระบบเช่นเดียวกับบัสอื่นๆ ผลที่ได้คือ ค่าความไวของกำลังไฟฟ้าบนสายส่งมีค่าไม่เท่ากับศูนย์สำหรับพจน์ที่ทำการอนุพันธ์เทียบกับกำลังไฟฟ้าที่ฉีดเข้าบัสอ้างอิงที่กำหนด

การคำนวณค่าความไวของกำลังไฟฟ้าบนสายส่งโดยให้บัสอ้างอิงมีส่วนร่วมด้วย สามารถกระทำได้โดยใช้วิธีการบวกตัวประกอบเลื่อนค่า (Shift factor) ให้กับค่าความไวของกำลังไฟฟ้าบนสายส่งที่คำนวณได้เดิม ซึ่งการพิสูจน์แสดงใน [18] ซึ่งจะได้ค่าความไวของกำลังไฟฟ้าบนสายส่งค่าใหม่เป็น

$$\begin{bmatrix} \frac{\partial P_{jk}}{\partial P_i} \\ \frac{\partial P_{jk}}{\partial Q_i} \end{bmatrix}_{new} = \begin{bmatrix} \frac{\partial P_{jk}}{\partial P_i} \\ \frac{\partial P_{jk}}{\partial Q_i} \end{bmatrix}_{old} + \begin{bmatrix} P \text{ shift factor} \\ Q \text{ shift factor} \end{bmatrix} \quad (3.61)$$

โดยที่

$$P \text{ shift factor} = -\frac{\left(\frac{\partial P_{jk}}{\partial P_j} + \frac{\partial P_{jk}}{\partial P_k}\right)_{old}}{2} \quad (3.62)$$

$$Q \text{ shift factor} = -\frac{\left(\frac{\partial P_{jk}}{\partial Q_j} + \frac{\partial P_{jk}}{\partial Q_k}\right)_{old}}{2} \quad (3.63)$$